Концентрация инструментов диагностики интеграционных потоков SAP для сокращения времени реагирования

Вохров Роман Александрович
Ведущий консультант SAP MM/SD, ООО «Цифровые технологии и платформы», vokhroff@gmail.com

Эксплуатация интеграционных потоков между ERP-системой и внешними платформами товарного учёта порождает класс операционных проблем, которые не выводятся из архитектурных задач интеграции. К таким проблемам относятся рост времени локализации сбойного сообщения, расхождение состояний данных между системами, накопление ручного труда службы поддержки. Стандартный инструментарий SAP для диагностики таких инцидентов распределён между несколькими транзакциями, что увеличивает время реакции. В работе предлагается двухконтурная модель операционного сопровождения интеграционных потоков, которая объединяет концентрацию диагностических инструментов в едином мониторе обработки и автоматизацию компенсирующих транзакций для устранения формализуемых рассогласований. Автокомпенсация встроена в обработку сообщения, а разделение на контуры носит аналитический характер и отражает два режима обработки одного потока, а не две отдельные подсистемы. Критерием разделения контуров служит формализуемость сценария восстановления согласованности данных. Эффективность модели исследуется методом дискретно-событийной симуляции с одновременной оценкой выигрыша по нагрузке и операционного риска некорректной автокомпенсации, для чего вводится риск-скорректированная метрика суммарной нагрузки. Проведён анализ чувствительности результатов к параметрам модели методом индексов Соболя, построен Парето-фронт проектных решений в пространстве выигрыш-риск. В зависимости от вероятности ошибочной классификации сценария и стоимости её исправления оптимальная доля автоматизации смещается от максимального значения вплоть до нулевого. Полученные оценки сопоставлены с практическими наблюдениями по конкретному внедрению.

Ключевые слова: SAP ERP, интеграционные потоки, монитор обработки, диагностика инцидентов, операционное сопровождение, компенсирующие транзакции, дискретно-событийная симуляция, анализ чувствительности, операционный риск, фронт Парето, согласованность данных, MTTR.

Введение

Долгоживущие интеграционные ландшафты SAP в крупных холдингах насыщены внешними интеграциями с системами товарного и сделочного учёта, складами, биллингом, маркетплейсами. Их архитектурное проектирование – зрелая область, опирающаяся на каноническую систему паттернов корпоративной интеграции [1] и её развития [2]. Однако после ввода в эксплуатацию возникает не покрываемый проектированием и вендорским мониторингом класс задач: разбор инцидентов, поддержание согласованности данных, минимизация ручного труда поддержки.

Исследования в смежных областях идут по трём линиям: архитектурные паттерны интеграции с механизмами восстановления [3]; наблюдаемость распределённых систем и SRE-практики [4, 5]; дискретно-событийная симуляция в задачах сопровождения [6]. Работы по операционным моделям сопровождения интеграционных потоков SAP с количественной оценкой эффективности на пересечении этих линий в открытой литературе отсутствуют.

Цель работы – разработка и численное исследование модели операционного сопровождения интеграционных потоков SAP, снижающей время реагирования и долю ручного труда. Вклад автора: двухконтурная модель, объединяющая концентрацию диагностики в едином мониторе и автоматизацию компенсирующих транзакций; критерий формализуемости как разграничитель ручного разбора и автокомпенсации с введением операционного риска некорректной автокомпенсации как объекта анализа; дискретно-событийная модель с двумя метриками – нагрузкой и риск-скорректированной нагрузкой; анализ чувствительности методом индексов Соболя [7, 8] и Парето-фронт в пространстве выигрыш-риск; иллюстрация на практическом внедрении.

Материалы и методы

Постановка задачи и архитектурный контекст

Рассматривается типовая интеграция SAP ERP с внешней системой товарного и сделочного учёта (далее – внешняя платформа) через асинхронные прокси-вызовы с очередями qRFC и bgRFC; документооборот привязан к ключу корреляции бизнес-уровня (контракту). Архитектурные аспекты (выбор очередей, синхронизация, порядок сообщений) принимаются как заданный контекст. Операционный инцидент – это ошибка обработки входящего сообщения, рассогласование состояний документов в SAP и внешней системе либо нарушение порядка обработки.

Целевые показатели операционной зрелости: MTTR (мин) от поступления сообщения с ошибкой до восстановления согласованного состояния; время локализации сбойного сообщения как составляющая MTTR; доля self-healing (инцидентов без участия инженера); удельная человеко-нагрузка поддержки (чел.-час за период). Прямое измерение этих показателей в продуктивной среде затруднено – нет контролируемого baseline, влияет человеческий фактор, разнородность инцидентов мешает усреднению [9], – что и мотивирует симуляционный подход.

Анализ стандартного инструментария SAP для диагностики интеграционных потоков

Разбор инцидента требует от инженера типовых функций, распределённых между несколькими транзакциями: статус сообщения в очереди (SMQ1, SMQ2), XML запроса и ответа (SXI_MONITOR), технический журнал (SLG1), поиск созданных в обеих системах документов, управляющие действия (перезапуск, отклонение, корректировка). Это вынуждает открывать четыре-шесть экранов на инцидент с ручным переносом контекста. Внешние средства класса APM (Splunk, США; Dynatrace, США; Elastic Observability, Нидерланды/США; eG Enterprise, США/Сингапур [10]) дают единую корреляцию событий и решают часть задачи концентрации диагностики, но остаются наблюдательными: не выполняют управляющих действий в прикладном слое и не несут семантики бизнес-объектов для компенсирующих операций. Поэтому прикладной монитор и внешний APM комплементарны.

Первый режим обработки: концентрация диагностики в едином мониторе

Первый контур – единый монитор обработки интеграционных сообщений, агрегирующий штатные диагностические инструменты SAP вокруг ключа корреляции (идентификатора сообщения или бизнес-ключа контракта) в одном интерфейсе; по смыслу это перенос парадигмы single-pane-of-glass из внешней наблюдаемости в прикладной слой ABAP. Состав: статус обработки, XML запроса и ответа, технический журнал, переход к документам SAP и внешней системы, управляющие действия (перезапуск, отклонение, инициирование компенсирующей транзакции) – всё в одном экране с сохранением контекста сообщения. Монитор построен как надстройка над штатными API очередей, движка и журналов, без подмены стандартных средств, что обеспечивает переносимость между внедрениями; он параметризуется классами сообщений и правилами навигации. Условие применимости – наличие в потоке логически связанных групп сообщений, объединяемых через бизнес-ключ.

Второй режим обработки: автоматизация компенсирующих транзакций

Рассогласования делятся на два типа. Первый требует экспертного разбора (причина неочевидна, действие зависит от контекста, формальное правило невозможно без оговорок) – такие инциденты идут в единый монитор с

ошибочным статусом. Второй – формализуемые: причина определяется по содержанию сообщения, действие задаётся правилом без интерпретации, поэтому целесообразна автоматическая компенсирующая транзакция без участия поддержки. Автокомпенсация встроена в обработку сообщения и не образует отдельного интерфейса; деление на контуры аналитическое – это два режима обработки одного сообщения, разграниченных формализуемостью и операционным риском. Факт срабатывания автокомпенсации фиксируется в журнале и используется в модели для подсчёта риска.

Типовые формализуемые рассогласования при интеграции с внешними платформами товарного учёта: расхождение отгруженных и фактурованных количеств (автодопоставка или возврат по ссылке на исходную поставку); изменение партий после реализации (реклассификация); корректировка проведённой операции (сторно с воссозданием при корректировке ниже порога); дублирование сообщения (отклонение по идентичному бизнес-ключу).

Реализация автокомпенсаций зависит от идемпотентности: в асинхронных интеграциях возможна повторная доставка, и без идемпотентности повторная обработка ведёт к двойной компенсации и каскадному рассогласованию. Она обеспечивается на двух уровнях – проверкой факта обработки по бизнес-ключу и журналом компенсаций. Подходы переносятся из теории распределённых транзакций (saga, eventual consistency, compensation transactions [11]) в контекст SAP.

Глубже технического риска лежит риск некорректной классификации инцидента как формализуемого – когда правило применяется к сообщению с нестандартным признаком вне правил либо к корректным на уровне интерфейса, но семантически неверным данным. Ошибочная компенсация вызывает рассогласование, ручное исправление которого дороже исходного разбора, поэтому выигрыш от автокомпенсации сопровождается операционным риском. Граница применимости второго контура задаётся формализуемостью класса и приемлемой вероятностью ошибки; за её пределами нагрузка переходит на первый контур. Риск моделируется вероятностью некорректной классификации $p_{misclass}$ и удельной стоимостью её исправления $C_{misclass}$, формирующими метрику H_{risk}.

Двухконтурная модель операционного сопровождения

Объединение контуров даёт двухконтурную модель – единый порядок обработки сообщения с ветвлением между автокомпенсацией и ручным разбором по критерию формализуемости (возможности записать правило восстановления без оговорок). Алгоритм: определение класса рассогласования по содержанию сообщения; проверка формализуемости по конфигурируемому списку; ветвление – формализуемый класс закрывается автокомпенсацией с проверкой идемпотентности и журналированием, иначе инцидент регистрируется в мониторе. Отличие от подхода с одним мониторингом – проектное решение о том, какие классы не доходят до поддержки; оно не сводится к формализуемости: при значимой вероятности ошибки и стоимости её исправления оптимальное p_{auto} ниже максимума и в пределе обращается в ноль. Модель применима к интеграциям с маркетплейсами, складами 3PL, биллинговыми и иными платформами с логически связанными сообщениями и формализуемыми классами рассогласований.

Методология численного исследования

Эффективность модели оценивается дискретно-событийной симуляцией (DES) – признанным инструментом исследования стратегий сопровождения [6, 12], дающим оценки при затруднённом прямом измерении. Допущения: входной поток – пуассоновский процесс с интенсивностью λ (шт/час); доля рассогласований – p_{error}, среди ошибочных доля формализуемых – p_{auto}; время ручного разбора – логнормальное [13] с медианой T_{base} при штатном инструментарии и T_{mon} при мониторе, σ_{log} задаёт вариабельность; время автокомпенсации мало в шкале человеко-часов.

Операционный риск задаётся двумя параметрами: $p_{misclass}$ – вероятность того, что отнесённый к формализуемым инцидент не должен был компенсироваться автоматически; $C_{misclass}$ – затраты времени на исправление одной такой ошибки (ч). Целевые метрики: H_{total} – суммарная человеко-нагрузка за период без учёта риска; H_{risk} – риск-скорректированная нагрузка ($n_{misclass}$ – число некорректных автокомпенсаций), определяемая как

$$H_{risk} = H_{total} + n_{misclass} \cdot C_{misclass} \qquad (1)$$

Дополнительно отслеживаются MTTR на ручных инцидентах и доля self-healing (успешные автокомпенсации к общему числу инцидентов); $n_{misclass}$ и доля self-healing – внутренние счётчики из журнала компенсаций.

Введены четыре сценария сопровождения как аналитический приём разложения совокупного эффекта на вклады отдельных механизмов (не как четыре отдельных продукта): S0 – базовый, только штатные транзакции SAP; S1 – только единый монитор без автокомпенсации; S2 – только автокомпенсация без монитора; S3 – полная двухконтурная модель, где монитор и автокомпенсация действуют совместно.

Параметры режима откалиброваны по независимым литературным данным: λ – 10–500 шт/час (ландшафты от средних до крупных [14]); p_{error} – 0,5–10 %; T_{base} – 60–240 мин, T_{mon} – 15–90 мин (ITSM-ориентиры для P2-P3); σ_{log} – 0,5–1,2; p_{auto} – 0–95 %. Параметры риска $p_{misclass}$ и $C_{misclass}$ подаются как проектные (прямых эмпирических оценок в литературе нет): исследуется всё разумное пространство – $p_{misclass}$ 0,1–10 % (от безупречной классификации до каждой десятой ошибки), $C_{misclass}$ 1–40 ч (от часа до рабочей недели). Практические наблюдения для калибровки не использовались.

Анализ чувствительности выполнен в две стадии. Сначала рассчитаны частные эластичности H_{total}, H_{risk} и MTTR по каждому из восьми параметров в окрестности рабочей точки методом симметричных конечных разностей при возмущении 10 %:

$$E = (\Delta Y / Y) / (\Delta X / X) \qquad (2)$$

Затем – глобальный анализ методом индексов Соболя по схеме Saltelli [7] с библиотекой SALib [15]: индексы первого порядка S_1 и total-order S^T. Базовый размер выборки N = 512 даёт $N \cdot k + 2 = 5120$ точек; в каждой точке 15 реплик для подавления шума, суммарно $\approx 7{,}7 \cdot 10^4$ прогонов. Воспроизводимость обеспечена фиксацией сидов; реализация на Python (NumPy, SciPy, SALib), код доступен по запросу к автору.

Результаты

Базовые результаты симуляции и сравнение сценариев

В рабочей точке параметрического пространства с λ = 100 шт/час, p_{error} = 0,03, p_{auto} = 0,70, T_{base} = 120 мин, T_{mon} = 30 мин, σ_{log} = 0,8, $p_{misclass}$ = 0,02 и $C_{misclass}$ = 8 ч выполнено по 2000 независимых реплик симуляции для каждого из четырёх сценариев операционного сопровождения. Полученные значения суммарной человеко-нагрузки H_{total} и риск-скорректированной нагрузки H_{risk} за 30 суток приведены в таблице 1 и визуализированы на рисунке 1.

Таблица 1
Целевые метрики в рабочей точке параметрического пространства

Сценарий	H_{total}, чел.-час	H_{risk}, чел.-час	Доля риска от H_{risk}, %	MTTR, мин	Доля self-healing, %
S0	5947	5947	0,0	165	0
S1	1487	1487	0,0	41	0
S2	1788	2031	11,9	165	68,6
S3	447	689	35,1	41	68,6

Сравнение четырёх сценариев по обеим метрикам представлено на рисунке 1.

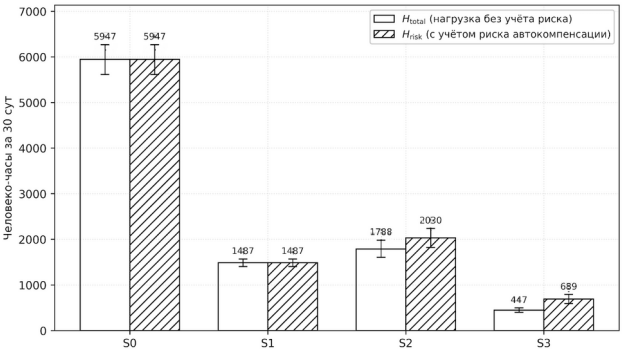


Рисунок 1 – Суммарная человеко-нагрузка на службу поддержки за 30 суток в четырёх сценариях операционного сопровождения

Каждый контур по отдельности (S1, S2) снижает H_{total} относительно S0 в 3-4 раза: монитор ускоряет ручной разбор в $T_{base}/T_{mon} \approx 4$ раза, автокомпенсация устраняет p_{auto} = 70 % инцидентов. Полная модель S3 даёт мультипликативный эффект – H_{total} составляет 7,5 % от S0 (снижение 92,5 %), что превосходит произведение эффектов отдельных контуров, поскольку механизмы действуют на дополнительные множества инцидентов: автокомпенсация устраняет формализуемые, монитор ускоряет разбор оставшихся.

Учёт операционного риска меняет картину: в S3 при $p_{misclass}$ = 2 % и $C_{misclass}$ = 8 ч риск-скорректированная нагрузка H_{risk} = 689 чел.-час превышает H_{total} = 447 чел.-час на 54 % (доля риска 35 %, таблица 1), а номинальный выигрыш 92,5 % снижается до 88,4 %. Эффект остаётся весомым, но цену риска нужно учитывать. Сценарий S1 этого риска не несёт по определению, что сохраняет конкурентоспособность первого контура. Зависимость нагрузки от p_{auto} для обеих метрик показана на рисунке 2.

Тонкие линии – H_{total} для четырёх сценариев, жирные с заливкой – H_{risk} для S2 и S3 ($p_{misclass}$ = 2 %, $C_{misclass}$ = 8 ч), звезда – оптимум H_{risk} для S3. Кривые S0 и S1 не зависят от p_{auto} (автокомпенсация отключена – структурный контроль); S2 и S3 линейно убывают, причём наклон H_{risk} меньше наклона H_{total} – часть выигрыша от автоматизации поглощается ростом риска. Точка пересечения H_{total} для S1 и S2 при $p_{auto} \approx 0{,}75$ означает, что одного второго контура хватает для эффекта одного первого; для H_{risk} она смещается влево, делая первый контур конкурентоспособнее. Выбор между инвестицией в монитор и в автокомпенсацию зависит от ожидаемой доли формализуемых сценариев и уровня операционного риска.

Зависимость нагрузки от λ для S0 и S1 в двойном логарифмическом масштабе показана на рисунке 3. Линейность подтверждает пропорциональность нагрузки потоку (структурный контроль); сужение доверительных

интервалов с ростом λ отражает уменьшение относительной погрешности. Затенённые области – 95 %-ные доверительные интервалы по 500 реплик.

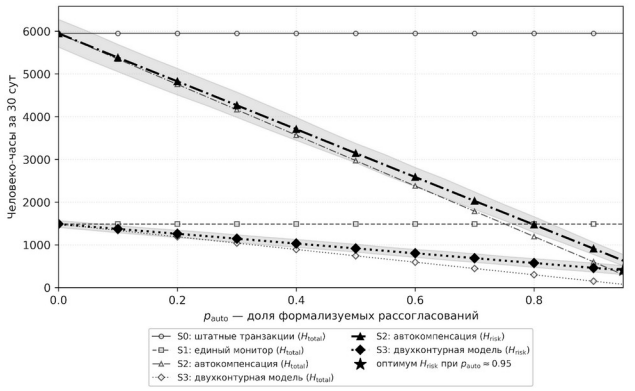


Рисунок 2 – Зависимость суммарной нагрузки от доли формализуемых рассогласований p_{auto}

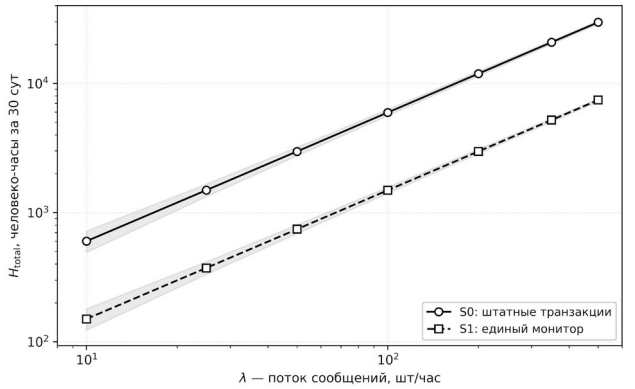


Рисунок 3 – Зависимость суммарной человеко-нагрузки от интенсивности потока сообщений λ в сценариях S0 и S1

Анализ чувствительности

Частные эластичности H_{total}, H_{risk} и MTTR в окрестности рабочей точки представлены на рисунке 4.

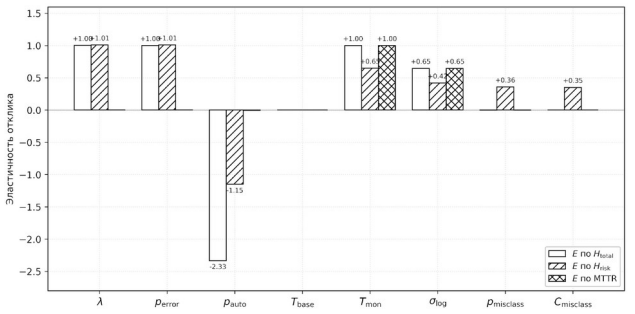


Рисунок 4 – Частные эластичности целевых метрик H_{total}, H_{risk} и MTTR по параметрам модели в окрестности рабочей точки

Эластичности λ, p_{error} и T_{mon} по обеим метрикам близки к +1,00 (пропорциональный вклад); T_{base} в S3 имеет нулевую эластичность (монитор активен – структурный контроль); σ_{log} по H_{total} равна +0,65. Ключевое: эластичность p_{auto} различается для метрик – −2,33 для H_{total} и только −1,15 для H_{risk}, то есть половина выигрыша от автоматизации поглощается ростом риска. Параметры риска $p_{misclass}$ и $C_{misclass}$ имеют эластичность по H_{risk} +0,35–0,36, сопоставимую с T_{mon}, что делает их проектно значимыми. Глобальный анализ методом индексов Соболя (рисунок 5) расширяет оценки на всё пространство параметров с учётом взаимодействий.

Для H_{risk} в полном пространстве восьми параметров доминируют параметры потока: λ даёт $S^T = 0{,}45$, p_{error} – $S^T = 0{,}41$. Параметр p_{auto}, лидировавший в модели без учёта риска, опускается до $S^T = 0{,}10$. Параметры риска сопоставимы по вкладу: $C_{misclass}$ – $S^T = 0{,}19$, $p_{misclass}$ – $S^T = 0{,}14$, оба превосходят T_{mon} ($S^T = 0{,}11$). То есть стоимость и качество классификации влияют на риск-скорректированную нагрузку сильнее скорости монитора. T_{base} в S3 неотличим от нуля, σ_{log} даёт $S^T \approx 0{,}02$ (пренебрежимо).

Для MTTR картина иная: доминирует T_{mon} ($S^T = 0{,}85$), σ_{log} даёт $S^T = 0{,}18$, остальные неотличимы от нуля – при активном мониторе MTTR определяется только распределением времени разбора через монитор, и инвестиции в его скорость напрямую улучшают MTTR. Качественные выводы (выигрыш обоих контуров, мультипликативность в S3, доминирование T_{mon} для MTTR) устойчивы во всём диапазоне; учёт риска перераспределяет значимость параметров, но не меняет знаков и порядка ключевых эффектов.

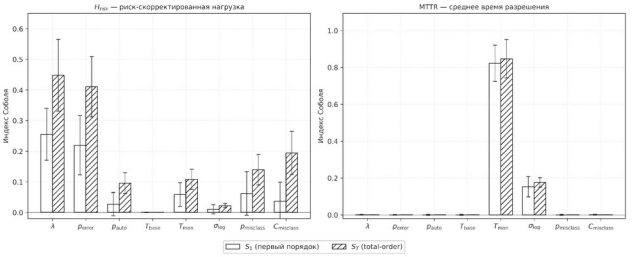


Рисунок 5 – Индексы Соболя первого порядка S_1 и total-order S^T для целевых метрик H_{risk} и MTTR

Парето-анализ проектных решений в пространстве выигрыш и риск

Учёт риска переводит выбор p_{auto} в задачу на фронте Парето. Зависимость H_{risk} от p_{auto} для семейства $p_{misclass}$ и двух значений $C_{misclass}$ показана на рисунке 6.

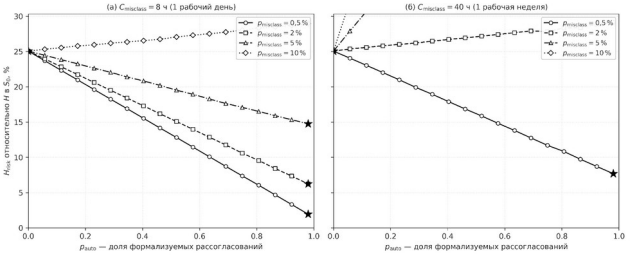


Рисунок 6 – Зависимость H_{risk} от p_{auto} для семейства значений $p_{misclass}$

Панель а соответствует $C_{misclass}$ = 8 ч (рабочий день), панель б – $C_{misclass}$ = 40 ч (рабочая неделя); звёзды отмечают оптимальные p_{auto}. При низких и умеренных $p_{misclass}$ оптимум H_{risk} достигается при максимальной автоматизации ($p_{auto} \approx 0{,}98$). Существуют пороговые значения $p_{misclass}$, после которых оптимум резко смещается к нулю – полному отказу от автокомпенсации. Фазовый переход наблюдается между $p_{misclass}$ = 5 % и 10 % при $C_{misclass}$ = 8 ч и между 0,5 % и 2 % при $C_{misclass}$ = 40 ч: чем тяжелее последствия ошибочной автокомпенсации, тем при меньших вероятностях ошибки она теряет оптимальность. Таким образом, решение о внедрении второго контура требует оценки двух характеристик помимо доли формализуемых сценариев – достижимого качества классификации 1 - $p_{misclass}$ и стоимости устранения ошибок $C_{misclass}$; каждая при пересечении своего порога меняет рекомендацию на противоположную.

Обсуждение

Интерпретация результатов

Практическое внедрение модели в проекте интеграции SAP ERP с внешней платформой товарного и сделочного учёта дало точечную оценку эффекта: устранён ежемесячный цикл ручного выравнивания тоталов длительностью 5 рабочих дней, вовлечённость службы поддержки сокращена на 95 %. Показатели приводятся как наблюдения по одному внедрению без контролируемого baseline. Они укладываются в диапазон предсказаний модели для S3 при правдоподобных p_{auto} = 0,70–0,90 и T_{base}/T_{mon} = 3–8. Калибровка эту точку не использовала, что снимает риск циклической аргументации.

Результаты переформулируют вопрос о целесообразности модели в вопрос о допустимом риск-профиле автокомпенсации. Без учёта риска оптимален максимум p_{auto}; с учётом риска картина меняется – эластичность H_{risk} по p_{auto} равна −1,15 против −2,33 для H_{total}, а параметры риска приобретают сопоставимое с T_{mon} влияние, и при превышении произведением $p_{misclass} \cdot C_{misclass}$ порога оптимальное p_{auto} скачком сдвигается к нулю. Доминирование доли формализуемых сценариев – иллюзия модели без учёта риска. Поэтому усилия по снижению $p_{misclass}$ (проектирование правил, тестирование, пилот) и $C_{misclass}$ (средства обнаружения некорректных автокомпенсаций) ценны не меньше расширения перечня формализуемых сценариев. Первый контур не несёт операционного риска по конструкции – структурное преимущество, проявляющееся в конкурентоспособности S1 при значимом риске.

Ограничения исследования

Модель опирается на упрощающие допущения. Поток инцидентов – стационарный пуассоновский процесс без корреляций, сезонных всплесков и каскадных эффектов. Ёмкость службы поддержки неограниченна, что разумно для оценки нагрузки в человеко-часах, но не для времени ожидания при перегрузках. Человеческий фактор (усталость, ротация смен, разнородность квалификации) не учитывается. Эти упрощения характерны для DES-моделей данного класса и оправданы целью – оценкой систематической

составляющей эффекта. Практическое наблюдение представляет одно внедрение без контролируемого baseline, цифры получены ретроспективно. Калибровочные диапазоны взяты из смежных областей (ITSM, наблюдаемость распределённых систем, надёжность интеграций), так как прямые эмпирические данные по интеграционным потокам SAP скудны; это компенсируется широкими диапазонами сетки и анализом чувствительности.

Соотношение с альтернативными подходами

Распространённый альтернативный подход – внешние средства наблюдаемости класса APM (Dynatrace, Splunk, Elastic Observability, eG Enterprise). Они решают концентрацию диагностики на уровне трасс и логов, покрывая часть функциональности первого контура, но не выполняют управляющих действий в учётной системе и не несут прикладной семантики компенсирующих транзакций (функциональности второго контура). Подходы комплементарны: оптимальная архитектура сочетает внешний APM как универсальное средство наблюдения за ландшафтом и единый прикладной монитор с автокомпенсацией как специализированное средство управления интеграционными потоками SAP, с двусторонней интеграцией через корреляцию событий и обратный вызов компенсирующих транзакций [10].

Перспективы развития

Дальнейшее развитие возможно по направлениям: формализация количественного критерия отнесения сценария к автокомпенсируемым через метрики полноты правила и доли исключений; расширение модели на корреляции инцидентов, пиковые нагрузки и ограниченную ёмкость поддержки; разработка типовой библиотеки компенсирующих транзакций для классов интеграций SAP; эмпирическая проверка на серии внедрений с контролируемым baseline.

Заключение

Предложена двухконтурная модель операционного сопровождения интеграционных потоков SAP, разграничивающая ручной разбор инцидентов через единый прикладной монитор и автоматическую компенсацию формализуемых рассогласований по критерию формализуемости. Дискретно-событийная симуляция с оценкой выигрыша по нагрузке, операционного риска некорректной автокомпенсации и анализом чувствительности методом индексов Соболя показала мультипликативный эффект двух контуров (снижение нагрузки до 92,5 %, превосходящее сумму эффектов отдельных контуров), частично компенсируемый при учёте риска. Эффект автокомпенсации не определяется одной долей формализуемых сценариев: при росте вероятности ошибочной классификации и стоимости её исправления оптимальная доля скачком сдвигается от максимума к нулю, что переводит решение о внедрении второго контура в задачу выбора на фронте Парето с явной оценкой риск-профиля. Первый контур не несёт операционного риска по конструкции и сохраняет применимость там, где второй контур нецелесообразен. Практическое внедрение согласуется с предсказаниями модели в правдоподобной области параметров.

Литература

1. Hohpe G., Woolf B. Enterprise Integration Patterns: Designing, Building, and Deploying Messaging Solutions. Boston, MA, USA : Addison-Wesley, 2003. ISBN 978-0-321-20068-6.
2. Ritter D., May N., Rinderle-Ma S. Patterns for emerging application integration scenarios: A survey // Information Systems. 2017. Т. 67. С. 36–57. DOI: 10.1016/j.is.2017.03.003
3. Lungu S., Nyirenda M. Current Trends in the Management of Distributed Transactions in Micro-Services Architectures: A Systematic Literature Review // Open Journal of Applied Sciences. 2024. Т. 14. № 9. С. 2519–2543. DOI: 10.4236/ojapps.2024.149167
4. Sridharan C. Distributed Systems Observability: A Guide to Building Robust Systems. Sebastopol, CA, USA : O'Reilly Media, 2018. ISBN 978-1-4920-3343-1.
5. Site Reliability Engineering: How Google Runs Production Systems / B. Beyer, C. Jones, J. Petoff, N. R. Murphy (eds.). Sebastopol, CA, USA : O'Reilly Media, 2016. ISBN 978-1-4919-2912-4.
6. Kouskouras K. G., Georgiou A. C. A discrete event simulation model in the case of managing a software project // European Journal of Operational Research. 2007. Т. 181. № 1. С. 374–389. DOI: 10.1016/j.ejor.2006.06.026
7. Global Sensitivity Analysis: The Primer / A. Saltelli, M. Ratto, T. Andres [et al.]. Chichester, UK : John Wiley & Sons, 2008. ISBN 978-0-470-05997-5.
8. Iwanaga T., Usher W., Herman J. Toward SALib 2.0: Advancing the accessibility and interpretability of global sensitivity analyses // Socio-Environmental Systems Modelling. 2022. Т. 4. С. 18155. DOI: 10.18174/sesmo.18155
9. Forsgren N., Humble J., Kim G. Accelerate: The Science of Lean Software and DevOps: Building and Scaling High Performing Technology Organizations. Portland, OR, USA : IT Revolution Press, 2018. ISBN 978-1-942788-33-1.
10. Gomez Blanco D. Practical OpenTelemetry: Adopting Open Observability Standards Across Your Organization. Berkeley, CA, USA : Apress, 2023. ISBN 978-1-4842-9074-3.
11. Daraghmi E. Y., Zhang C.-P., Yuan S.-M. Enhancing Saga Pattern for Distributed Transactions within a Microservices Architecture // Applied Sciences. 2022. Т. 12. № 12. С. 6242. DOI: 10.3390/app12126242
12. Koyya P., Vooradi R., Bondalapati S. K. A Survey of Saga Frameworks for Distributed Transactions in Event-driven Microservices // 2022 Third Int. Conf. Smart Technologies in Computing, Electrical and Electronics (ICSTCEE). 2022. DOI: 10.1109/ICSTCEE56972.2022.10099533
13. Tai T.-E., Lim T. Y., Phang P. T. [et al.] Performance Evaluation of Machine Learning Techniques on Resolution Time Prediction in Helpdesk Support System // International Journal on Robotics, Automation and Sciences. 2024. Т. 6. № 2. С. 59–68. DOI: 10.33093/ijoras.2024.6.2.9
14. Maharjan R., Arju M. A., Cerny T. Benchmarking Message Queues // Telecom. 2023. Т. 4. № 2. С. 298–312. DOI: 10.3390/telecom4020018
15. Herman J., Usher W. SALib: An open-source Python library for Sensitivity Analysis // Journal of Open Source Software. 2017. Т. 2. № 9. С. 97. DOI: 10.21105/joss.00097

Consolidation of sap integration flow diagnostic tools for reducing incident response time

Vokhrov R.A.

Digital Technologies and Platforms LLC

JEL classification: B00, D20, E22, E44, L23, L51, L52, M11, M20, M30, Z33

Operating integration flows between an ERP system and external commodity accounting platforms gives rise to operational problems not reducible to architectural design: growing message localization time, divergence of data states, and accumulation of manual support work. Standard SAP diagnostic tools are spread across several transactions, which increases response time. The paper proposes a two-loop model of operational support for integration flows, combining consolidation of diagnostic tools in a unified processing monitor with automation of compensating transactions that resolve formalizable mismatches. Autocompensation is embedded in message processing; the division into loops is analytical, reflecting two processing modes of one flow rather than two subsystems. The separation criterion is the formalizability of the data consistency restoration scenario. Model effectiveness is studied by discrete-event simulation with simultaneous evaluation of the workload gain and the operational risk of incorrect autocompensation, for which a risk-adjusted workload metric is introduced. A Sobol sensitivity analysis is performed and a Pareto frontier of design solutions in the gain-risk space is constructed. Depending on misclassification probability and correction cost, the optimal share of automation shifts from its maximum value down to zero. The estimates obtained are compared with practical observations from a specific implementation.

Keywords: SAP ERP, integration flows, processing monitor, incident diagnosis, operational support, compensating transactions, discrete-event simulation, sensitivity analysis, operational risk, Pareto frontier, data consistency, MTTR.

References

1. Hohpe G., Woolf B. Enterprise Integration Patterns: Designing, Building, and Deploying Messaging Solutions, Boston, MA, USA, Addison-Wesley, 2003, ISBN 978-0-321-20068-6.
2. Ritter D., May N., Rinderle-Ma S. Patterns for emerging application integration scenarios: A survey, Information Systems, 2017, vol. 67, pp. 36–57. DOI: 10.1016/j.is.2017.03.003.
3. Lungu S., Nyirenda M. Current Trends in the Management of Distributed Transactions in Micro-Services Architectures: A Systematic Literature Review, Open Journal of Applied Sciences, 2024, vol. 14, no. 9, pp. 2519–2543. DOI: 10.4236/ojapps.2024.149167.
4. Sridharan C. Distributed Systems Observability: A Guide to Building Robust Systems, Sebastopol, CA, USA, O'Reilly Media, 2018, ISBN 978-1-4920-3343-1.
5. Site Reliability Engineering: How Google Runs Production Systems / B. Beyer, C. Jones, J. Petoff, N. R. Murphy (eds.), Sebastopol, CA, USA, O'Reilly Media, 2016, ISBN 978-1-4919-2912-4.
6. Kouskouras K. G., Georgiou A. C. A discrete event simulation model in the case of managing a software project, European Journal of Operational Research, 2007, vol. 181, no. 1, pp. 374–389. DOI: 10.1016/j.ejor.2006.06.026.
7. Saltelli A., Ratto M., Andres T., Campolongo F., Cariboni J., Gatelli D., Saisana M., Tarantola S. Global Sensitivity Analysis: The Primer, Chichester, UK, John Wiley & Sons, 2008, ISBN 978-0-470-05997-5.
8. Iwanaga T., Usher W., Herman J. Toward SALib 2.0: Advancing the accessibility and interpretability of global sensitivity analyses, Socio-Environmental Systems Modelling, 2022, vol. 4, p. 18155. DOI: 10.18174/sesmo.18155.
9. Forsgren N., Humble J., Kim G. Accelerate: The Science of Lean Software and DevOps, Portland, OR, USA, IT Revolution Press, 2018, ISBN 978-1-942788-33-1.
10. Gomez Blanco D. Practical OpenTelemetry: Adopting Open Observability Standards Across Your Organization, Berkeley, CA, USA, Apress, 2023, ISBN 978-1-4842-9074-3.